

九州大学工学部(内質) 研究員 正員 ○春山元寿
同上 正員 山内豊聰

はじめに: 火山性砂質タイ積層であるシラスの自然状態における強さ成分は粒子間の内部摩擦、粒子形状の特異性や方向性に基づくインターロッキングおよび地質的な固結効果から成り、乱されると、固結効果が失われ、その強さを減ずると考えられる。本報では乱したシラスをせん断した場合の応力と変形の関係から、その強さ成分について考え、さらに限界間隔ゲキ比の求め方を示した。

試料および試験方法: 実験に用いたシラスは軽石流の非熔結部と思われる、鹿児島市内唐森において採取したものの中、4.76 mm フライ通過部分で、レキ分 8.9%，砂分 67.0%，シルト分 20.1% および粘土分 4.0%，均等係数 14.3，比重 2.37，最大間隔ゲキ比 1.525，最小間隔ゲキ比 0.800 である。粒子の鏡下における形状はガラス質で角張った薄片状あるいは針状を呈する。供試体の大きさは直徑 5.0 cm，高さ 12.5 cm で 4 種の初期間隔ゲキ比 e_0 について側圧 σ_3 を 4 段階とし、 $\sigma_3 = \text{一定}$ で排水型定ひずみ法の三軸圧縮試験を行なった。その結果は次のように要約される。

応力・体積変化とヒズミの関係: 体積変化とヒズミの関係は密な状態では、先ず収縮が生じ、次いで膨張してから体積変化はなくなる。せん断初期の収縮は一般に砂のそれに比較して大きい。弛い状態ではヒズミの増加に従い収縮を生じた後、定常状態となる。軸差応力とヒズミの関係は密な状態でも、弛い状態でも軸差応力はピークを示す。これはシラスは弛い状態でもせん断面附近ではせん断応力の増加によってダイレタンシーに伴うインターロッキング(噛合せ)効果が作用しているためと考えられる。

シラスのせん断強さの成分: ダイレタンシーは内的および外的仕事を行ない、シラスのせん断強さの成分 S は $S = S_H + S_{dI} + S_{de}$ にて表わされると考える。(ここに、 S_H : 粒子間の内部摩擦による部分で、これはせん断中の体積変化に關係しない。 S_{dI} : せん断面附近でのインターロッキングによる部分、すなわちダイレタンシーによる内的仕事の部分。 S_{de} : せん断中拘束圧力に抵抗することによって生ずる部分、すなわちダイレタンシーによる外的仕事の部分。) $S_{dI} + S_{de} = S_d$ とすると、 $S_d = \sigma_3 \left(\frac{d\sigma}{du} \right)_d^2$ (表わされ、最大軸差応力は $(\sigma_1 - \sigma_3)_d = (\sigma_1 - \sigma_3)_H + \sigma_3 \left(\frac{d\sigma}{du} \right)_d^3$ と示される。

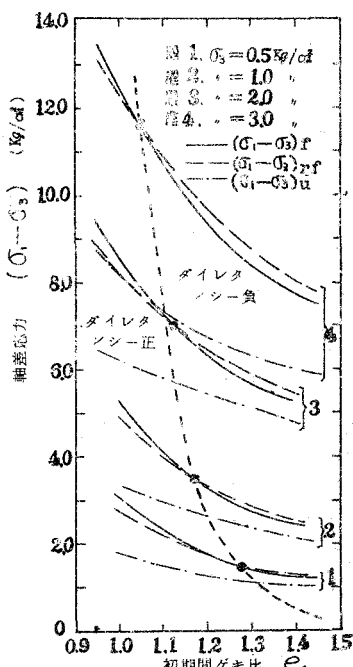


図 1 シラスの軸差応力と初期間ゲキ比の関係
(排水三軸せん断)

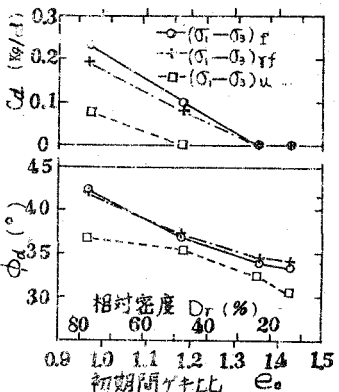


図 2 シラスの見かけの粘着力とせん断強度角

(ここで、 $(\sigma_1 - \sigma_3)_{sf}$: $(\sigma_1 - \sigma_3)_{sf}$ における S_d に相当する成分。 $(d\epsilon/d\sigma)_{sf}$: $(\sigma_1 - \sigma_3)_{sf}$ に対する体積変化～ヒズミ曲線上の接線の勾配で、 $\Delta = d\epsilon/d\sigma$) いま、せん断に伴う体積変化がなく、軸差応力の変化のない定常状態における軸差応力を $(\sigma_1 - \sigma_3)_{st}$ と表わすと、乱したシラスの $(\sigma_1 - \sigma_3)_{sf}$ 、 $(\sigma_1 - \sigma_3)_{sf}$ および $(\sigma_1 - \sigma_3)_{st}$ と C_d の関係は図1に、これららの値とそれぞれモールの破壊理論に適用して求めた C_d 、 ϕ_d の値を図2に、破壊時の応力状態を図3に示す。軸差応力、体積変化およびヒズミの関係によって、 $(\sigma_1 - \sigma_3)_{sf} - (\sigma_1 - \sigma_3)_{st} = S_d$ とすると、 $(\sigma_1 - \sigma_3)_{sf}$ は $(\sigma_1 - \sigma_3)_{st}$ にほぼ等しいはずであるが、本実験では C_d の小さいほど、また Δ の大きいほど $(\sigma_1 - \sigma_3)_{sf} > (\sigma_1 - \sigma_3)_{st}$ である。したがってシラスについては $\sigma_3 (d\epsilon/d\sigma)_{sf}$ によってダイレタンシーに伴うすべての内的、外的仕事率を表わすことはできないと考えられる。また図2によつて

$(\sigma_1 - \sigma_3)_{sf}$ と $(\sigma_1 - \sigma_3)_{st}$ にて求めた C_d の値を検討すれば、乱したシラスの C_d はせん断領域における粒子のインターロッキング効果によって生ずるものが大部分を占めると考えられる。さらに

$(\sigma_1 - \sigma_3)_{sf}$ と $(\sigma_1 - \sigma_3)_{sf}$ によるものが $C_d = 1.08$ で、その大小関係を逆にしているのはダイレタンシーの影響である。

限界間ゲキ比 C_d とその求め方：せん断に伴う体積変化は ϵ_{st} に関係する。定側圧法によってシラスの ϵ_{st} を求めるとき、シラスはせん断初期の収縮が大きいので図4に見られるように、その C_d は非常に小さい値を示す。そこで C_d をせん断に伴う間ゲキ比 C_d の変化のない状態と定義すると、 $(d\epsilon/d\sigma)_{sf}$ は単位ヒズミに対する体積変化率であるから、膨張を正、収縮を負とすれば膨張も収縮もない場合、 $(d\epsilon/d\sigma)_{sf} = 0$ で、このときの C_d は $C_d = 1$ である。これは図5に示すように $(d\epsilon/d\sigma)_{sf} \sim C_d$ の曲線が $(d\epsilon/d\sigma)_{sf} = 0$ と交わる点によって求めることができるべき。また図1の $(\sigma_1 - \sigma_3)_{sf}$ 曲線と $(\sigma_1 - \sigma_3)_{st}$ 曲線は ϵ_{st} にて交わり、この交点と結ぶ曲線は ϵ_{st} に関する $(\sigma_1 - \sigma_3)$ と ϵ_{st} の関係を示し、この曲線上の点ではダイレタンシーは 0、左側では正、右側では負である。

参考文献

- 1) Bishop & Henkel, The Measurement of Soil Properties in the Triaxial Test, 2nd Ed. 1962, p.123.
- 2) Bishop & Eddin, The Effect of Stress History on Relation between φ and Porosity in Sand, Proc. 3rd Int. Conf. SMFE, 1, 1953, pp.100~105
- 3) 赤井浩一, 砂のせん断におけるダイレタンシー効果, 土木学会論文集, No.58, 昭.33.9, pp.76~81
- 4) Taylor, D.W., Fundamentals of Soil Mechanics, John Wiley & Sons, 1948

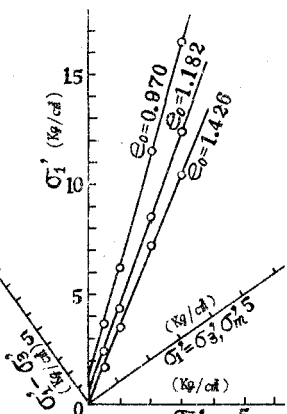


図3 Rendulicの応力面表示による乱したシラスの圧縮破壊包絡線

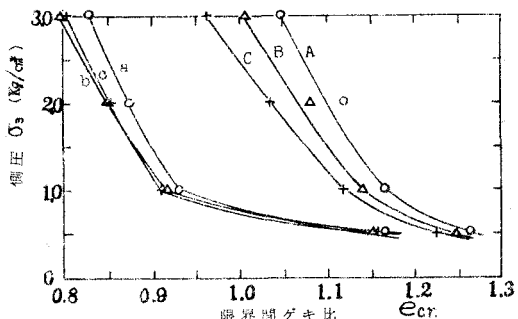


図4 開口と限界開口比との関係
初期開口比に対してプロットしたもの A, a.
圧密終了時の開口比に対してプロットしたもの B, b.
破壊時の開口比に対してプロットしたもの C, c.
(注)a, b, c : キアグランデ A の定側圧法による。
A, B, C : $(d\sigma/d\epsilon)_{sf} = 0$ 法による。

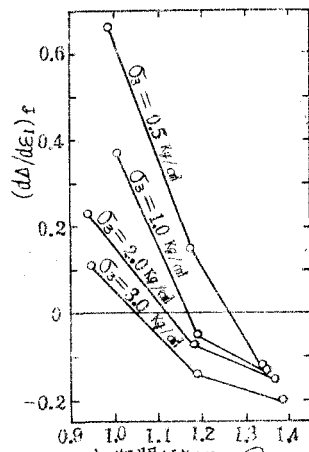


図5 限界開口比の求め方